

Е. А. ВОЛЬМИР

**ПОВЕДЕНИЕ КРУГОВЫХ ЦИЛИНДРИЧЕСКИХ ПАНЕЛЕЙ
ПОД ДЕЙСТВИЕМ ОСЕВОГО ДИНАМИЧЕСКОГО СЖАТИЯ**

(Представлено академиком Л. И. Седовым 27 V 1971)

Поведение замкнутых круговых цилиндрических оболочек под действием осевой динамической сжимающей нагрузки рассматривалось в ряде исследований, подробная библиография по которым приведена в (1), см. также (2). Между тем, динамическому выпучиванию открытых подкрепленных цилиндрических оболочек была посвящена только работа (3), в которой разбирался один частный пример. Ниже эта задача исследуется в более общем виде.

Рассмотрим пологую круговую цилиндрическую панель, шарнирно опертую по краям, в предположении, что она подвергается динамическому сжатию вдоль образующей. Считая скорость взаимного смещения кромок панели малой по сравнению со скоростью распространения звука в материале панели, будем учитывать лишь составляющую сил инерции, соответствующую нормальному прогибу панели; иными словами, откажемся от рассмотрения процесса распространения упругих волн в срединной поверхности оболочки. Деформации предполагаются лежащими в пределах упругости.

Выпишем основные динамические уравнения нелинейной теории пологих оболочек (4):

$$\frac{D}{h} \nabla^4 (w - w_0) = L(w, \Phi) - \frac{1}{R} \frac{\partial^2 \Phi}{\partial x^2} - \frac{\gamma}{g} \frac{\partial^2 w}{\partial t^2}, \quad (1)$$

$$\frac{1}{E} \nabla^4 \Phi = -\frac{1}{2} [L(w, w) - L(w_0, w_0)] - \frac{1}{R} \frac{\partial^2 (w - w_0)}{\partial x^2}. \quad (2)$$

Здесь R и h — радиус кривизны срединной поверхности и толщина панели соответственно, $D = Eh^3 / [12(1 - \mu^2)]$ — цилиндрическая жесткость, γ — удельный вес материала, Φ — функция напряжений в срединной поверхности, $w(x, y, t)$ и $w_0(x, y)$ — соответственно полный и начальный прогибы точек срединной поверхности; координаты x и y откладываются вдоль образующей и по дуге панели; t — время, L — известный билинейный оператор.

Допустим, что осевая сжимающая нагрузка задана произвольной функцией времени $p = \varphi(t)$. Применяем процедуру Бубнова — Папковича, выбирая в качестве аппроксимирующих функций для полного и начального прогибов

$$w = f \sin \frac{m\pi x}{a} \sin \frac{n\pi y}{b}, \quad w_0 = f_0 \sin \frac{m\pi x}{a} \sin \frac{n\pi y}{b}. \quad (3)$$

Здесь a и b — стороны панели, ориентированные соответственно вдоль образующей и по дуге; под m, n понимается количество полуволн вдоль сторон a, b соответственно. Тогда приходим к нелинейному дифференциальному уравнению относительно стрелы прогиба

$$\frac{d^2 \xi}{dt^2} - \left(\frac{m}{\lambda}\right)^2 \psi(\tau) \xi + (\xi - \xi_0) \left\{ \frac{1}{4} \left[\left(\frac{m}{\lambda}\right)^2 + n^2 \right]^2 + \frac{3(1 - \mu^3)}{\pi^4} \frac{m^4 k^3}{[m^2 + (\lambda n)^2]^2} \right\} +$$

$$+ \frac{3}{16}(1 - \mu^2) \left[\left(\frac{m}{\lambda} \right)^4 + n^4 \right] \xi(\xi + \xi_0) \left\{ - \alpha \frac{2(1 - \mu^2)}{\pi^4} kn(\xi - \xi_0) \left\{ \frac{16m^3}{[m^2 + (\lambda n)^2]^2} \xi + \frac{\xi + \xi_0}{m} \right\} \right\} = 0. \quad (4)$$

Здесь введены безразмерные параметры

$$\xi = \frac{f}{h}, \quad \xi_0 = \frac{f_0}{h}, \quad \lambda = \frac{a}{b}, \quad k = \frac{b^2}{Rh}, \quad \tau = \omega t,$$

$$\psi(\tau) = \frac{b^4 [3(1 - \mu^2)]^{3/2}}{\pi^4 h^3} \Phi(\tau),$$

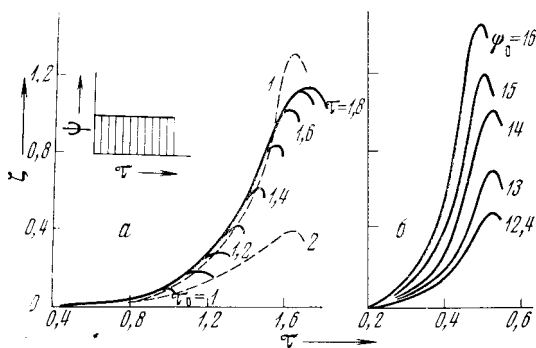
в которые входят

$$c = \sqrt{\frac{Eg}{\gamma}}, \quad \omega^2 = \frac{\pi^2 Egh^2 p_0}{\gamma b^4}, \quad p_0 = \frac{\pi^2}{3(1 - \mu^2)} + \frac{k^2}{4\pi^2}.$$

Параметр $\alpha = 1$ при нечетных значениях m и n и $\alpha = 0$ в остальных случаях.

Интегрирование уравнения (4) проводилось по методу Рунге — Кутты.

Рис. 1. Зависимость параметра прогиба ξ от времени τ для прямоугольного импульса при $\xi_0 = 1 \cdot 10^{-3}$, $k = 0$, $\lambda = 2$ для $\psi_0 = 5$ (а), $\tau_0 = 0,5$ (б). Число полуволн $m_{кр}$ в случае б составляет 11 для трех нижних кривых и 12 для двух верхних



на ЭЦВМ БЭСМ-2М, причем для каждого варианта нагружения варьировались числа m и n .

Исследуем вначале случай ступенчатого импульса:

$$\psi(\tau) = \begin{cases} \psi_0 & \text{при } 0 \leq \tau \leq \tau_0, \\ 0 & \text{при } \tau > \tau_0. \end{cases}$$

На рис. 1а приведены данные вычислений для одного и того же значения $\psi_0 = 5$, но импульсов различной продолжительности. Сплошными линиями представлены кривые, соответствующие «критическому» числу полуволн вдоль образующей $m_{кр}$, т. е. те, у которых фронт бурного выпучивания лежит ближе всего к оси ординат. При всех значениях τ_0 $m_{кр}$ оказалось равным 7. Для параметра $\tau_0 = 1,6$ штриховыми линиями показаны кривые, отвечающие $m = 6$ (кривая 1) и $m = 8$ (кривая 2). На рис. 1б приведены кривые, соответствующие различным уровням нагрузки при одной и той же продолжительности импульса $\tau_0 = 0,5$ и тех же значениях геометрических параметров, что и на рис. 1а. Для всех вариантов нагрузки, а также различных геометрических параметров панели оказалось, что вдоль дуги в момент динамического выпучивания образуется одна полуволна ($n = 1$).

Результаты всех проведенных вычислений для импульсов ступенчатой формы можно объединить следующим образом. Будем условно считать «опасным» значение амплитуды прогиба, равное толщине пластинки ($\xi = 1$), и определим те сочетания величин нагрузки ψ_0 и значений импульса I , при которых впервые достигается эта амплитуда. Соответствующая кривая представлена на рис. 2, 1. Мы видим, что большим значениям ψ_0 соответствуют меньшие значения импульса I : опасными являются тем

меньшие импульсы, чем выше уровень нагрузки. Результаты аналогичных вычислений при условии, что предельной является величина прогиба, равная половине толщины панели ($\zeta = 0,5$), представлены кривой 2. Приведенные кривые относятся к удлиненным пластинкам ($k = 0$). Кривая 3 отражает соответствующую зависимость для панели с параметром кривизны $k = 12$. Она имеет такой же характер, как и предыдущие.

Далее было исследовано поведение панели при воздействии на нее экспоненциального импульса типа $\psi = Ae^{-\delta\tau}$. Получены данные, относящиеся к влиянию амплитуды нагрузки A и показателя экспоненты δ . И здесь оп-

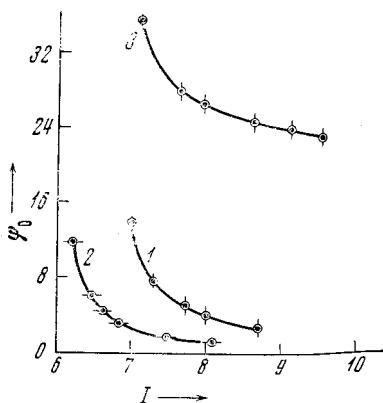


Рис. 2

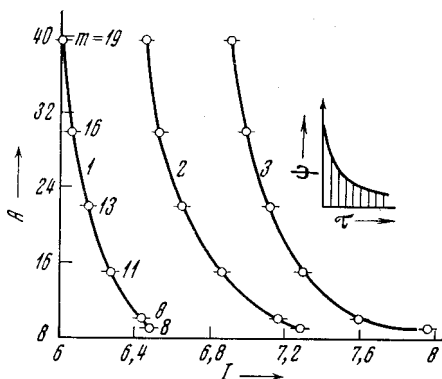


Рис. 3

Рис. 2. Соотношение между «опасными» импульсами I и параметром нагрузки ψ_0 при $\zeta_0 = 1 \cdot 10^{-3}$, $\lambda = 2$ для ступенчатого импульса

Рис. 3. Зависимость между «опасными» импульсами I и параметром нагрузки A при $\zeta = 0,5; 0,8; 1$ (кривые 1, 2, 3 соответственно) для экспоненциального импульса; принято $\delta = 0,5$; $\zeta_0 = 1 \cdot 10^{-3}$; $k = 0$, $\lambda = 2$

ределялась зависимость импульса, соответствующего некоторым уровням прогибов, от параметра A . Результаты вычислений, относящихся к плоской панели, отражают кривые рис. 3; они относятся к значениям прогиба $\zeta = 0,5; 0,8; 1$, взятым в качестве предельных. Так же, как и в случае ступенчатого закона $\psi(\tau)$, величина импульса I , необходимая для достижения того или иного параметра прогиба ζ , повышается с уменьшением нагрузки A .

Приведенный выше алгоритм позволяет рассмотреть с позиций нелинейной теории оболочек поведение круговых цилиндрических панелей под действием осевой импульсной нагрузки самого различного характера и установить в соответствии с выбранным критерием предельные величины «безопасных» импульсов.

Военно-воздушная инженерная академия
им. Н. Е. Жуковского

Поступило
7 V 1971

ЦИТИРОВАННАЯ ЛИТЕРАТУРА

- ¹ А. С. Вольмир, Устойчивость деформируемых систем, «Наука», 1967. ² Э. И. Григолюк, А. И. Сребровский, Мех. тверд. тела, № 3, 110 (1968). ³ А. С. Вольмир, ДАН, 123, № 5, 806 (1968).